

II-153 広矩形わん曲水路における流れの非平衡特性に関する一考察

東京大学 卒生員 ○池内 幸司
東京大学 正員 玉井 信行

1. はじめに

わん曲部の水流の非平衡領域の挙動には、未知な点が多い。ここでは、主流の流下方向の変化に、ある仮定を導入し、2次流の発達あるいは減衰域における水位変化を求める手法を提案する。次に、Rozovskii¹⁾の実験結果を用いて主流速分布を定め、水位変化の予測値と実測値を比較する。

2. 基礎方程式

広矩形水路において、側壁の影響が小さく、水深と半径の比 $\frac{h}{r}$ が小さい場合のθ方向の運動量方程式、連続式をそれぞれZ方向に積分した結果は、次式で与えられる（記号は図-1参照）。ここに、 τ_{eo} は底面における摩擦力を示す。

$$\frac{1}{r} \frac{\partial}{\partial r} \left(r^2 \int_b^s U_r U_\theta dz \right) + \frac{\partial}{\partial \theta} \int_b^s U_\theta^2 dz = - \frac{\partial S}{r \partial \theta} g r h - \frac{r \tau_{eo}}{\rho} \quad (1)$$

① ② ③ ④

$$\frac{\partial}{\partial \theta} \int_b^s U_\theta dz + \frac{\partial}{\partial r} \left(r \int_b^s U_r dz \right) = 0 \quad (2)$$

3. 解析上の仮定

① U_θ のZ方向分布は、対数則に従うものとする。

$$U_\theta = U_{cp} \left[1 + \frac{\sqrt{g}}{KC} (1 + \ln \eta) \right] = U_{cp} f(\eta) \quad (3)$$

ここに、 U_{cp} はZ方向に積分して求めた平均流速、C はレジーの抵抗係数、K はカルマン定数である。

$$\textcircled{2} \quad U_r = \frac{h}{r} U_{cp} [C_1(\theta) G(\eta) + \Theta(r, \theta, \eta)] \quad (4)$$

とする。ここに、

$$G(\eta) = \frac{1}{K^2} \left(\int \frac{2 \ln \eta}{\eta - 1} d\eta - \frac{\sqrt{g}}{KC} \int \frac{\ln^2 \eta}{\eta - 1} d\eta \right) \quad (\text{Rozovskiiの式}) \quad (5)$$

$$C_1 = \int_0^r |U_r| d\eta / \int_0^r \frac{h}{r} U_{cp} |G(\eta)| d\eta \quad (6)$$

とする。 C_1 は厳密には、 r と θ の関数であるが、現段階では θ のみの関数と考える。これは、 U_r の成分中で、 r 方向への質量輸送に寄与しない成分と、完全発達域における U_r との比を表わす。発達・減衰域においては、 r 方向への質量輸送の効果を無視する事はできない。この効果を表わすのが、式(4)の右辺第2項である。即ち、 $\int_0^r G(\eta) d\eta = 0$ であるが、 $\int_0^r U_r d\eta$ はこの領域では0でない。

④ U_{cp} の分布を $A(\theta) r^{\eta(\theta)}$ で近似する。

⑤ $\tau_{eo}/\rho = g U_{cp}^2/C^2$ (g は重力加速度、 ρ は水の密度) とする。

4. 解析

式(2)を仮定①、⑤を用いて書き直すと次式になる。

$$\frac{\partial}{\partial \theta} (U_{cp} h) + \frac{\partial}{\partial r} (h^2 U_{cp} C_2) = 0 \quad (7)$$

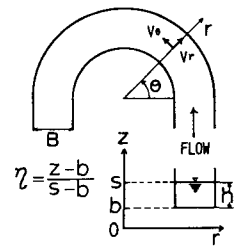


図-1 水路模式図
および記号の説明

ここに, $C_2(r, \theta) = \int_0^r e(r, \theta, \eta) d\eta$ である。式(1)中の①項は, 仮定①, ②, ③と式(3)より,

$$\textcircled{1} = C_1 A (2n+1) \frac{h^2}{r} U_{cp}^2 + 2C_1 A h I_r U_{cp}^2 - f U_{cp} \frac{\partial (U_{cp} h)}{\partial \theta} + f C_2 (n+1) \frac{h^2}{r} U_{cp}^2 + C_2 h \frac{\partial f}{\partial r} U_{cp}^2 \quad (8)$$

ここに, $A = \frac{\sqrt{g}}{F_r^2 C} (0.8 - 0.5 \frac{\sqrt{g}}{F_r C})$, $f(r, \theta, \eta) = \int_0^r e d\eta / C_2$

である。式(1)中の②項は,

$$\textcircled{2} = \beta h \frac{\partial}{\partial \theta} \left(\frac{1}{2} U_{cp}^2 \right) + \beta U_{cp} \frac{\partial}{\partial \theta} (U_{cp} h) \quad (9)$$

となる。ここに, $\beta = [1 + g / (K C)^2]$ である。

式(1)を式(8), (9), 仮定①, ③を用いて変形すると次式になる。

$$i_s = \frac{1}{(1 + \varepsilon F_r^2)} \left[(\beta + \varepsilon) \frac{\partial}{\partial \theta} \left(\frac{U_{cp}^2}{2g} \right) + F_r^2 \left\{ C_1 A (2n+1) \left(\frac{h^2}{r} \right) + 2C_1 A I_r \left(\frac{h}{r} \right) + f C_2 (n+1) \left(\frac{h^2}{r} \right) + C_2 h \frac{\partial f}{\partial r} \right. \right. \\ \left. \left. + \varepsilon i_b + \frac{g}{C^2} \right\} \right] \quad (10)$$

$\varepsilon = \beta - f$, $I_r = \frac{\partial h}{\partial r}$, $i_s = -\frac{\partial S}{\partial \theta}$, $i_b = -\frac{\partial b}{\partial \theta}$, $F_r^2 = \frac{U_{cp}^2}{g h}$ である。 $\varepsilon = 0$, $C_2 = 0$ の場合には, 式(10)は次式で与えられる。

$$\frac{\partial S}{\partial \theta} + \frac{\partial}{\partial \theta} \left(\frac{\beta}{2g} U_{cp}^2 \right) = -\frac{C_1}{g} A (2n+1) \frac{h}{r} U_{cp}^2 - 2 \frac{C_1}{g} A I_r U_{cp}^2 - \frac{r}{C^2 h} U_{cp}^2 \quad (11)$$

T1 T2 T3 T4 T5

5. 計算例および考察

Rozovskii^①のex. 1より U_{cp} を定め, 式(10)に代入して水位変化を求めた。 U_r の詳細なデータが得られなかつた為, $\varepsilon = C_2 = 0$, $I_r = \beta U_{cp}^2 / g r$ の条件下で(即ち, 式(11)で)計算した。計算値を図-2に実測値を図-3に示す。境界条件として, 上流端にて水位を与えた。 a , n は最小二乗法より求めた。中心線上では, 計算値と実測値は比較的良く一致している。側壁付近では, 計算値と実測値は一致していない。これは, 式(1)が, 側壁の影響が無いという事を前提条件にしている事と, $\varepsilon = C_2 = 0$ とした事によるものであろう。出口付近では, 計算値は実測値と比べて, 内岸側では高め, 外岸側では低めの値をとっている。現実には, わん曲部においては, 内岸側から外岸側へとエネルギー; $E = (\frac{1}{2} S + \frac{1}{2} U_{cp}^2)$ が輸送されている。しかしに, 今回の計算では, r 方向への質量輸送が無いという条件($\varepsilon = C_2 = 0$)の下に式(10)を解いてしまつた為に, エネルギー輸送の効果を十分に表現できなが, たものと思われる。図-4に内岸と中心線上における式(11)の各項の値のθ方向の変化を示した。側壁付近では, 左辺の各項の絶対値は, 右辺の各項のそれよりも, はるかに大きい。中心線上においても側壁付近ほどではないが, 同様な特性が見られる。これらの事より, 式(10)においても, 右辺のカッコ内の第1項が, 大きな値をとる事がわかる。この項において, $\varepsilon = 0$ と仮定した事が, 計算結果に大きな影響を及ぼしているものと思われる。以上の結果をまとめると, わん曲部の非平衡領域における激しい水位変動は, U_{cp} の変化と2次流による r 方向への質量輸送によるものであるという事が, 推定できる。

〔参考文献〕 ①Rozovskii, I. L., Israel Program, 41, 116, 140, 141, 1961

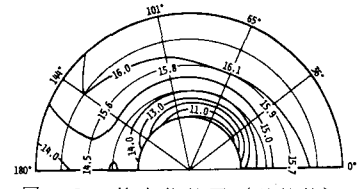


図-2 等水位線図(計算値)

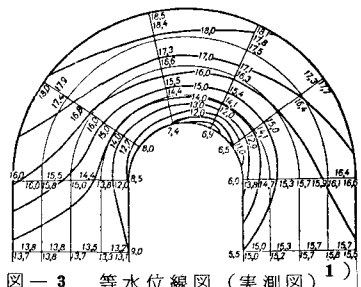


図-3 等水位線図(実測図)

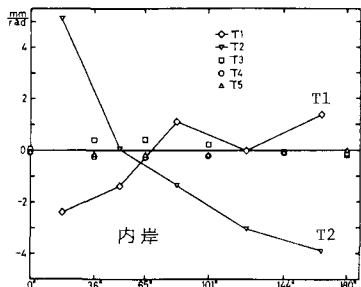


図-4 式(11)の各項の比較